大面積フォトニック結晶レーザのための面内均一性の評価

Investigation of in-plane uniformity for realizing large-area photonic crystal lasers
[°]福原 真 ¹, De Zoysa Menaka ¹, 吉田昌宏 ¹, 國師渡 ², 石崎賢司 ¹, 河崎正人 ³, 初田蘭子 ¹, 田中良典 ¹, 野田 進 ¹(京大院工 ¹, ローム基礎研究開発部 ², 三菱電機先端総研 ³)

°S. Fukuhara¹, M. De Zoysa¹, M. Yoshida¹, W. Kunishi², K. Ishizaki¹, M. Kawasaki³, R. Hatsuda¹, Y. Tanaka¹, S. Noda¹ (Kyoto Univ.¹, ROHM Semiconductor², Mitsubishi Electric³)

E-mail: shin.fukuhara@qoe.kuee.kyoto-u.ac.jp, snoda@kuee.kyoto-u.ac.jp

「序」フォトニック結晶レーザ(PCSEL)は、活性層近傍に設けた 2 次元フォトニック結晶 (PC)におけるバンド端共振効果を活用した大面積コヒーレント半導体レーザである。最近、我々は、高ビーム品質を維持したまま大面積・高出力動作が可能な PCSEL の格子点としてダブルホール構造を提案・実証している $^{1)}$. 前回、大きさの異なる楕円ダブルホールを導入し、発振面積が $300~\mu m$ 角の PCSEL を作製し、 $M^2 \le 2$ においてピーク出力 4.5~W 動作を実証した $^{2)}$. さらに、現在、より大面積で動作可能なダブルホール PCSEL の作製・評価に取り組んでいる $^{3)}$. このような大面積コヒーレント動作において、フォトニック結晶の面内均一性が重要となる。今回、微小領域で局所的にレーザ発振する複数の PCSEL をアレイ化・同時駆動し、発振波長分布を測定することで、面内均一性を評価したので報告する.

[試料] 作製した試料構造の断面の模式図を図 1 に示す. 試料の作製において,まず,n-GaAs 基板上に,n-AlGaAs のクラッド層,AlGaAs/InGaAs 多重量子井戸層(MQW),フォトニック結晶形成用 p-GaAs 層を成長した.ここで,MQW の発光波長は~940 nm とした.次に,p-GaAs 層には,格子定数~280 nm のフォトニック結晶面を導入した.今回は,面内一次結合係数(κ_3)が~2000 cm⁻¹程度と大きい,すなわち,狙いの微小面積でも発振が可能な正方格子シングルホールフォトニック結晶を採用した.続いて,フォトニック結晶上に,p-AlGaAs のクラッド層及び p+キャップ層を再成長した.その後,微小領域毎に電流注入が出来るように,p側に,直径 30 μ m,間隔 110 μ m の分割電極(61 個)を三角格子状に導入した.

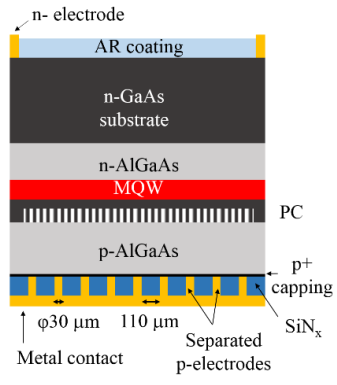


Fig. 1. Schematic diagram of the PCSEL structure

これらの複数の電極は、直径~900 μ m の領域の評価を可能とする.本構造において、分割した p 電極が互いに電気的に繋がっており、微小領域に同時に電流注入が可能である (図 1). この際、面内相互引き込み 4が起こらないように、電極間隔を十分に離した.最後に、p 側に窓電極を形成した.

【結果】窓電極側 (n 側) から観測した発振後の近視野像を図 2(a)に示す。同図より、各微小領域において同時発振が確認出来る(対称なシングルホール格子点ゆえ各領域はリング発振をしている)。各領域の発振スペクトルから発振波長を抽出し、プロットすると図 2(b)のようになる。同図より、全面(直径~900μm 程度)において、最大の波長差は~0.326 nm であり、標準偏差は~0.063 nm であった。これらの変化がフォトニック結晶の格子定数の変化によって生じると仮定すると、最大の格子定数の変化量は

~0.097 nm,標準偏差は~0.019 nm 程度に留まっていると言え,極めて均一性が高い.詳細は当日報告する.**[謝辞]** 本研究は JST ACCEL および文科省光拠点の支援を受けた.**[文献]**[1] 吉田他,2016 年秋応物 15p-B4-16.[2] 吉田他,2017 年春応物 15a-E205-1.[3] 吉田他,本応物予稿集.[4] 小林他,2016 年春応物 21a-S621-9.

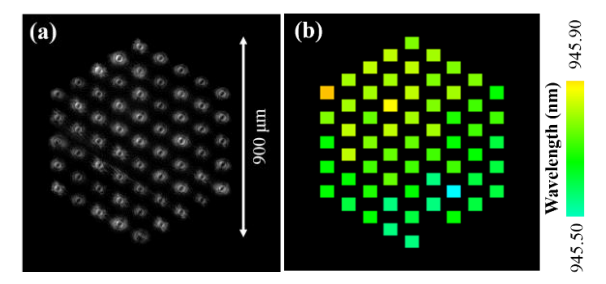


Fig. 2. (a) Near-field pattern after lasing. (b) Distribution of lasing wavelength of separated p-electrodes.